

SÍNTESE, CARACTERIZAÇÃO E ESTUDOS DAS ATIVIDADES ANTIVIRAIS DE UM NOVO COMPLEXO DE Pd(II) COM AMANTADINA

Palavras-Chave: AMINOADAMANTANOS, PALÁDIO(II), ATIVIDADE ANTIVIRAL, COMPLEXOS METÁLICOS

Autores/as:

LAURA BARROS SILVA [IQ - UNICAMP]
ANNA KARLA DOS SANTOS PEREIRA [IQ - UNICAMP]
URIEL ENRIQUE AQUINO RUIZ [ICBIM-UFU]
IGOR ANDRADE SANTOS [ICBIM-UFU]
ANA CAROLINA G. JARDIM [ICBIM-UFU]

Prof. Dr. PEDRO PAULO CORBI (orientador) [IQ - UNICAMP]

INTRODUÇÃO:

O adamantano é um hidrocarboneto (C₁₀H₁₆) isolado do petróleo que quando funcionalizado origina novas moléculas com propriedades farmacológicas importantes [1]. Uma dessas moléculas é a amantadina, representada na Figura 1 a seguir. A amantadina é utilizada na clínica médica como fármaco para o tratamento e prevenção de infecções causadas pelo vírus influenza A.

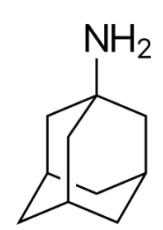


Figura 1 – Fórmula estrutural da amantadina.

Recentemente, foi relatado por nosso grupo de pesquisas que a coordenação de tais fármacos a metais como Ag(I) e Pt(II)

levou à obtenção de novas moléculas com atividades antibacterianas promissoras [1], [2]. Tendo em vista a possibilidade de coordenação de moléculas bioativas a metais na busca por novos agentes com atividades farmacológicas importantes, foi proposta a síntese de um novo complexo metálico de Pd(II) com amantadina (Pd-atd). O uso do paládio para fins medicinais foi motivado, a princípio, pela semelhança entre sua estrutura eletrônica e modos de coordenação à platina [2]. Além de suas propriedades antineoplásicas, também tem sido reportada a atividade antimicrobiana dos compostos de paládio [3]-[6].

METODOLOGIA DE SÍNTESE:

O método adotado para a síntese do complexo de Pd-atd foi o mesmo utilizado anteriormente pelo grupo para sintetizar o

complexo de paládio com rimantadina, um outro aminoadamantano [7]. A reação foi feita em solução metanólica alcalinizada com KOH, na proporção ligante:metal de 2:1. O sólido formado, um pó fino de coloração amarelada, foi separado por filtração a vácuo e seco em dessecador por 24h.

RESULTADOS E DISCUSSÕES:

I. Análise elementar

Os resultados da análise elementar para o complexo são consistentes com a seguinte composição: [PdCl₂(C₁₀H₁₇N)₂]. A comparação entre os valores teóricos e os resultados obtidos para o complexo pode ser observada na tabela abaixo:

Composição do complexo Pd-atd				
	Carbono	Hidrogênio	Nitrogênio	
Teórico	50,06%	7,14%	5,84%	
Experimental	49,24 ±	6,88 ±	5,74 ±	
	0,06 %	0,05 %	0,03 %	

Tabela 1: Valores teóricos e experimentais das porcentagens em massa de Carbono (C), Hidrogênio (H) e Nitrogênio (N) para o complexo Pd-atd.

II. Análise termogravimétrica

O termograma obtido para o composto, que pode ser visto na Figura 2 a seguir, apresenta dois eventos de perda de massa.

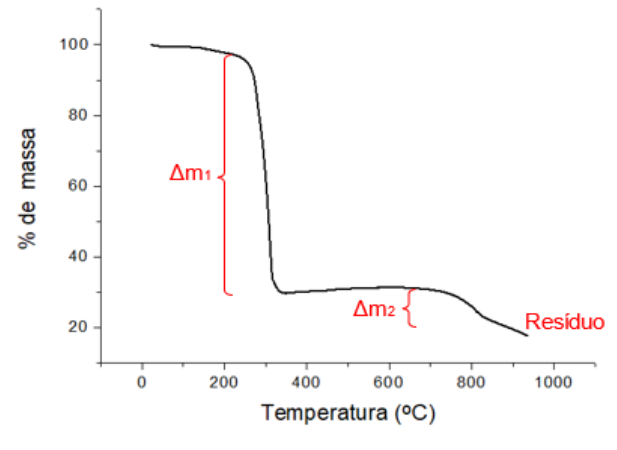


Figura 2: Termograma do complexo Pd-atd

O primeiro evento (Δm₁), que se inicia por volta dos 245°C, diz respeito à perda dos ligantes (duas moléculas de amantadina e dois cloretos), marcando o início da decomposição térmica do complexo. Em 400°C observa-se a formação de óxido de paládio (PdO). A redução do óxido formado a Pd⁰ pode ser observada no segundo evento de perda de massa (Δm₂), a partir de 780°C, gerando o resíduo metálico. Esses resultados corroboram a composição proposta por meio da análise elementar: [PdCl₂(C₁₀H₁₇N)₂].

III. Análise por espectrometria de massas

espectro de massas para composto de Pd-atd (Figura 3) na região de 470 a 510 m/z foi consistente com a composição proposta. Observa-se no espectro da Figura 3 um sinal de razão massa/carga de 486,1, o qual pode ser atribuído ao íon $[PdCl_2(C_{10}H_{17}N)_2+Li]^+$. A presença do paládio é confirmada pelo seu padrão isotópico, enquanto que a presença de é devida lítio ao uso do sal tetracloropaladato(II) de lítio na síntese do complexo.

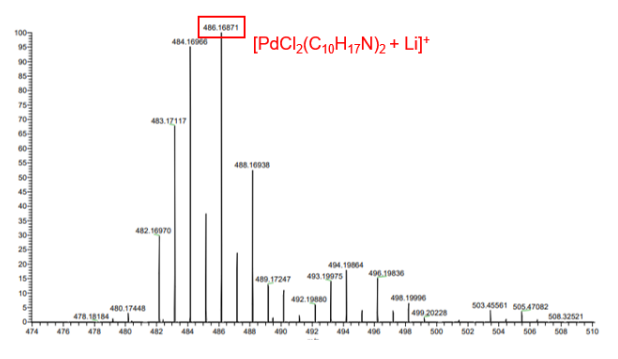


Figura 3: Espectro de massas com ampliação na região de 480 m/z para o complexo de Pd-atd.

IV. Análise por espectroscopia no infravermelho (IV)

O espectro no IV do ligante livre (atdH), apresentado na Figura 4a, exibe uma banda alargada e de baixa resolução na região de 2700 a 3100 cm⁻¹, com máximos em 2916 e 2853 cm⁻¹. Essa banda pode ser atribuída à sobreposição entre as bandas relacionadas ao grupo amino v(NH3+) e as bandas relacionadas aos estiramentos v(CH) $V(CH_2)$ cadeia carbônica da do aminoadamantano. Já no espectro complexo de Pd-atd, apresentado na Figura 4b, é possível identificar duas bandas distintas: em 2905 cm⁻¹, a banda associada aos estiramentos v(CH), e em 3207, a banda associada ao estiramento da ligação NH no v(NH₂), agora com o nitrogênio desprotonado. O resultado obtido mostra um deslocamento da banda relacionada aos estiramentos NH do grupo NH₂. De acordo com a literatura, essa mudança no estiramento N-H pode ser atribuída à coordenação do grupo amino da amantadina ao íon Pd(II) [8], [9].

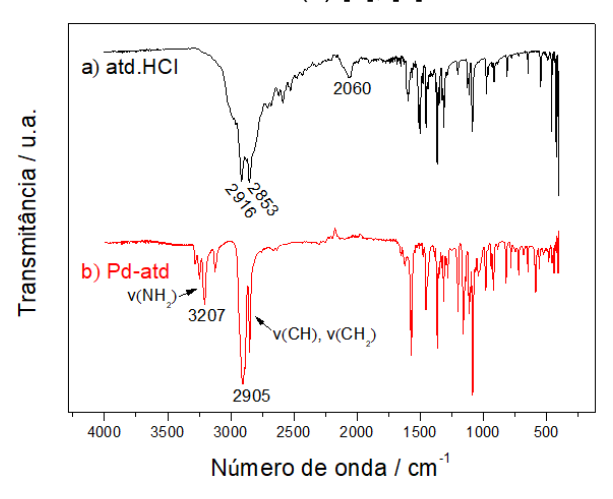


Figura 4: Espectro de absorção na região do infravermelho para a) a amantadina livre e b) o complexo de Pd-atd.

Além disso, uma banda de combinação em 2060 cm⁻¹ foi observada no espectro do cloridrato de amantadina,

podendo ser associada a uma combinação das bandas de vibração assimétrica do NH₃+ e da banda de oscilação de torção do grupo NH₃⁺ livre. Uma vez que as moléculas de amantadina ligadas átomo central ao possuem o grupo NH2 desprotonado, a ausência dessa banda no espectro no IV do também é complexo um indício coordenação do grupo amina ao Pd(II) [9].

V. Análise por espectroscopia de ressonância magnética nuclear (RMN)

A comparação entre os espectros de RMN de hidrogênio obtidos para o ligante livre e para o complexo (Figura 5) possibilitou observar a diferença de deslocamento químico dos hidrogênios da amina, que passam de 8,12 ppm na atdH a 3,24 ppm no Pd-atd, o que é um indício da formação do complexo a partir do nitrogênio do grupo amino.

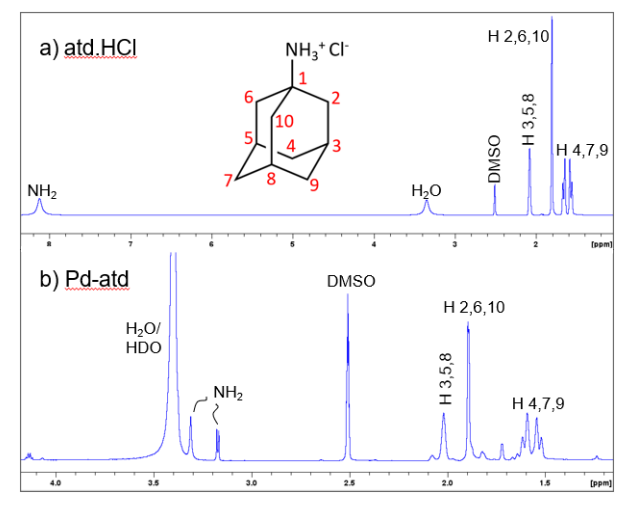


Figura 5: Espectro de ressonância magnética nuclear de ¹H para a) a amantadina livre e b) o complexo de Pd-atd, com a atribuição dos átomos associados a cada sinal.

Também foi possível observar a diferença de deslocamento químico do nitrogênio a partir da formação do complexo, por meio do experimento HMBC. No espectro

obtido nesse experimento, o deslocamento de 61,4 ppm no nitrogênio do ligante livre para 20,3 ppm no complexo confirma a coordenação do ligante ao metal pelo do nitrogênio do grupo NH₂.

A estabilidade química do complexo também foi analisada por meio de um estudo cinético por espectroscopia de ressonância magnética nuclear de ¹H. Foram feitas medidas dos espectros do composto em solução de DMSO deuterado com o passar do tempo e, conforme observado na Figura 6 a seguir, não houve alteração no espectro obtido. Isso indica que o complexo se mantém estável, sem apresentar trocas de ligantes.

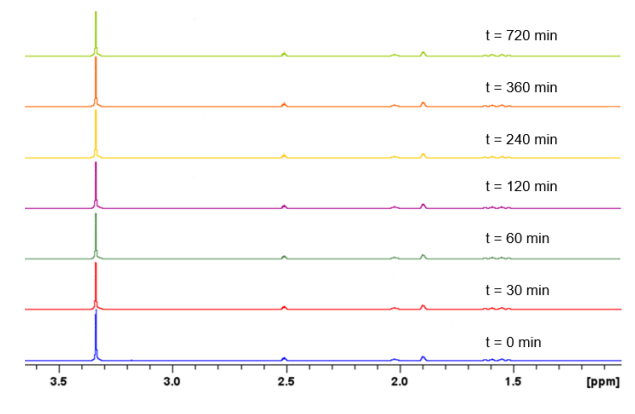


Figura 6: Espectros de ressonância magnética nuclear do complexo Pd-atd com o passar do tempo, desde t = 0 min até t = 720 min.

VI. Ensaios de atividade antiviral

Em parceria com o grupo de pesquisas coordenado pela Profa. Dra. Ana Carolina Jardim, da Universidade Federal de Uberlândia (UFU), foram efetuados ensaios de viabilidade celular (Tabela 2), buscando avaliar a citotoxicidade do complexo Pd-atd, e ensaios de atividade antiviral, a fim de quantificar a capacidade de inibição da replicação do vírus causador da Febre Chikungunya (CHIKV) do novo complexo.

	Viabilidade celular (%)		
Composto/ concentração	50 µmol·L ⁻¹	10 µmol·L ⁻¹	2 µmol·L ⁻¹
atdH	78.2	90.7	88.9
Pd-atd	35.4	46.7	97.6
LiPdCl₄	97.8	98.3	103.6

Tabela 2: Viabilidade celular do complexo Pd-atd, da amantadina livre (atdH) e do sal de partida (Li₂PdCl₄).

Os compostos, nas maiores concentrações em que a viabilidade celular foi satisfatória, isto é, não citotóxica, foram aplicados em células BHK-21 inoculadas com o CHIKV. A atividade antiviral dos compostos foi avaliada pela quantificação de carga viral por luminescência através do ensaio Renilla luciferase, e os resultados estão expressos na tabela abaixo.

Compostos nas concentrações testadas	Viabilidade celular (%)	Infecção por CHIKV (%)	Inibição da replicação do CHIKV (%)
LiPdCl ₄ 50 µmol·L ⁻¹	97.8	100.2	0
atdH 10 µmol·L ⁻¹	107.8	95.8	4.1
Pd-atd 2 µmol·L ⁻¹	97.6	19.9	80.1

Tabela 3: Efeitos dos compostos Li₂PdCl₄, atdH e Pd-atd na viabilidade celular e na infecção por CHIKV.

CONCLUSÕES:

Um novo complexo de paládio(II) com amantadina foi sintetizado e caracterizado. Os resultados dos experimentos de análise elementar e termogravimétrica indicam sua obtenção na proporção 1:2 metal:ligante, enquanto a espectrometria de massas confirmou a presença do metal e a massa molar de 479,8g/mol do complexo. Dois íons cloreto completam a esfera de coordenação

quadrada do íon paládio(II). A análise térmica possibilitou, ainda, identificar a estabilidade térmica do composto, com a sua degradação sendo observada na faixa de 245 a 375°C.

As análises por espectroscopia de absorção no IV e de ressonância magnética nuclear confirmaram que a coordenação do ligante ao íon metálico se dá pelo átomo de nitrogênio do grupo amino. O estudo cinético por ressonância magnética nuclear revelou a estabilidade química do complexo.

Os ensaios de citotoxicidade e de atividade antiviral indicam que o complexo Pdatd na concentração de 2,0 µmol/L apresenta viabilidade celular satisfatória, sendo capaz de inibir em 80% a replicação do CHIKV, enquanto os precursores atdH e Li₂PdCl₄ não apresentaram atividade antiviral relevante. Os resultados podem ser considerados promissores, e novos estudos estão em andamento para avaliar o potencial de aplicação deste complexo como um novo agente antiviral no tratamento de doenças como a Febre Chikungunya.

AGRADECIMENTOS

Os autores agradecem ao CNPq/PIBIC, à Pró-Reitoria de Graduação da UNICAMP, ao SAE, ao IQ/UNICAMP e à FAPESP (Proc. 2021/08717-8).

BIBLIOGRAFIA

- [1] A. K. dos S. Pereira *et al.*, "Synthesis, crystal structures, DFT studies, antibacterial assays and interaction assessments with biomolecules of new platinum(II) complexes with adamantane derivatives", *New J. Chem.*, vol. 44, n° 27, p. 11546–11556, jul. 2020, doi: 10.1039/D0NJ02009E.
- [2] M. N. Alam e F. Huq, "Comprehensive review on tumour active palladium

- compounds and structure—activity relationships", Coordination Chemistry Reviews, vol. 316, p. 36–67, jun. 2016, doi: 10.1016/j.ccr.2016.02.001.
- [3] A. T. Fiori-Duarte, F. R. G. Bergamini, R. E. F. de Paiva, C. M. Manzano, W. R. Lustri, e P. P. Corbi, "A new palladium(II) complex with ibuprofen: Spectroscopic characterization, DFT studies, antibacterial activities and interaction with biomolecules", Journal of Molecular Structure, vol. 1186, p. 144–154, jun. 2019, doi: 10.1016/j.molstruc.2019.03.020.
- [4] A. M. Abu-Dief et al., "Synthesis and characterization of Fe(III), Pd(II) and Cu(II)thiazole complexes; DFT, pharmacophore modeling, in-vitro assay and DNA binding studies", Journal of Molecular Liquids, vol. 326, p. 115277, mar. 2021, doi: 10.1016/j.molliq.2021.115277.
- [5] C. Amoah, C. Obuah, M. K. Ainooson, C. K. Adokoh, e A. Muller, "Synthesis, characterization and antibacterial applications of pyrazolyl-sulfonamides and their palladium complexes", New J. Chem., vol. 45, n° 7, p. 3716–3726, fev. 2021, doi: 10.1039/D0NJ05143H.
- [6] A. Naglah "Synthesis, et al., thermogravimetric, and spectroscopic characterizations of three palladium metal(II) ofloxacin drug and amino acids mixed ligand complexes as advanced materials", antimicrobial Journal Molecular Structure, vol. 1225, p. 129102, fev. 2021, doi: 10.1016/j.molstruc.2020.129102.
- [7] S. Ferreira Sucena, "Síntese, caracterização e estudo das atividades antibacterianas de complexos de Au(I), Ag(I) e Pd(II) com rimantadina", Mestra em Química, Universidade Estadual de Campinas, Campinas, 2013. doi: 10.47749/T/UNICAMP.2013.912646.
- [8] A. K. dos Santos Pereira et al., "Synthesis, crystallographic studies, molecular modeling and in vitro biological studies of silver(I) complexes with aminoadamantane ligands", Polyhedron, vol. 173, p. 114116, nov. 2019, doi: 10.1016/j.poly.2019.114116.
- [9] S. F. Sucena et al., "Chemical, spectroscopic characterization, DFT studies and antibacterial activities in vitro of a new gold(I) complex with rimantadine", Spectrochim Acta A Mol Biomol Spectrosc, vol. 89, p. 114–118, abr. 2012, doi: 10.1016/j.saa.2011.12.043.